

# 15



## Seeger-V-Ringe für Bohrungen Seeger-V-Rings for bores Segments intérieurs V-Seeger

**Maßliste  
Data chart  
Table  
dimensionnelle**

**JV 12 – JV 100**

**Bezeichnung  
Designation  
Désignation**

**Nennmaß  
Nominal  
dimension  
Dimension  
nominale**  
 $d_1$

**Ring, Ring, Anneau**

**s**

**Toleranz  
Tolerance  
Tolérance**

**$d_3$**

**Toleranz  
Tolerance  
Tolérance**

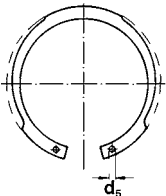
**b**

**Toleranz  
Tolerance  
Tolérance**

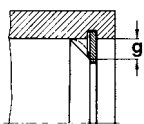
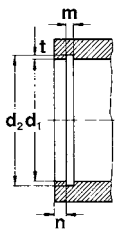
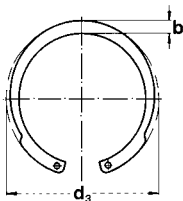
**$d_5$   
min.**

**Gew.  
Weight  
Masse**  
kg/1000

nach Wahl des Herstellers  
manufacturer's choice  
suivant les disponibilités du fabricant



Ungespannt  
Unstressed  
A l'état libre



Bezeichnung Designation Désignation	Nennmaß Nominal dimension Dimension nominale $d_1$	s	Toleranz Tolerance Tolérance	$d_3$	Toleranz Tolerance Tolérance	b	Toleranz Tolerance Tolérance	$d_5$ min.	Gew. Weight Masse kg/1000
JV 12	12	0,60	-0,05	13,1	+0,42 -0,13	1,8	±0,1	1,0	0,25
JV 15	15	0,80	-0,05	16,1	+0,42 -0,13	2,0	±0,1	1,0	0,41
JV 16	16	1,00	-0,06	17,3	+0,42 -0,13	2,1	±0,1	1,3	0,53
JV 17	17	1,00	-0,06	18,3	+0,42 -0,13	2,1	±0,1	1,3	0,58
JV 18	18	1,00	-0,06	19,5	+0,42 -0,13	2,2	±0,1	1,3	0,62
JV 19	19	1,00	-0,06	20,5	+0,42 -0,13	2,2	±0,1	1,3	0,66
JV 20	20	1,00	-0,06	21,5	+0,42 -0,13	2,3	±0,1	1,3	0,80
JV 21	21	1,00	-0,06	22,5	+0,42 -0,13	2,4	±0,1	1,3	0,81
JV 22	22	1,00	-0,06	23,5	+0,42 -0,13	2,4	±0,1	1,3	0,83
JV 24	24	1,20	-0,06	25,9	+0,42 -0,21	2,8	±0,1	1,5	1,30
JV 25	25	1,20	-0,06	26,9	+0,42 -0,21	2,8	±0,1	1,5	1,40
JV 26	26	1,20	-0,06	27,9	+0,42 -0,21	3,0	±0,1	1,5	1,50
JV 27	27	1,20	-0,06	29,1	+0,42 -0,21	3,0	±0,1	1,5	1,53
JV 28	28	1,20	-0,06	30,1	+0,50 -0,25	3,1	±0,1	1,5	1,80
JV 30	30	1,20	-0,06	32,1	+0,50 -0,25	3,2	±0,1	1,5	2,03
JV 32	32	1,20	-0,06	34,4	+0,50 -0,25	3,3	±0,1	1,5	2,05
JV 33	33	1,20	-0,06	35,5	+0,50 -0,25	3,3	±0,1	1,5	2,35
JV 35	35	1,50	-0,06	37,8	+0,50 -0,25	3,4	±0,1	1,7	3,20
JV 36	36	1,50	-0,06	38,8	+0,50 -0,25	3,6	±0,1	1,7	3,23
JV 38	38	1,50	-0,06	40,8	+0,50 -0,25	3,8	±0,1	1,7	3,68
JV 40	40	1,75	-0,06	43,5	+0,90 -0,39	4,2	±0,2	2,0	4,75
JV 42	42	1,75	-0,06	45,5	+0,90 -0,39	4,2	±0,2	2,0	5,20
JV 45	45	1,75	-0,06	48,5	+0,90 -0,39	4,2	±0,2	2,0	6,00
JV 47	47	1,75	-0,06	50,5	+1,10 -0,46	4,7	±0,2	2,0	6,50
JV 48	48	1,75	-0,06	51,5	+1,10 -0,46	4,7	±0,2	2,0	7,00
JV 50	50	2,00	-0,07	54,2	+1,10 -0,46	5,2	±0,2	2,5	8,50
JV 52	52	2,00	-0,07	56,2	+1,10 -0,46	5,2	±0,2	2,5	9,00
JV 55	55	2,00	-0,07	59,2	+1,10 -0,46	5,2	±0,2	2,5	10,00
JV 57	57	2,00	-0,07	61,2	+1,10 -0,46	5,2	±0,2	2,5	10,25
JV 58	58	2,00	-0,07	62,2	+1,10 -0,46	5,2	±0,2	2,5	10,50
JV 60	60	2,00	-0,07	64,2	+1,10 -0,46	5,2	±0,2	2,5	11,25
JV 62	62	2,00	-0,07	66,2	+1,10 -0,46	5,2	±0,2	2,5	11,75
JV 65	65	2,50	-0,07	69,2	+1,10 -0,46	5,7	±0,2	2,5	16,25
JV 67	67	2,50	-0,07	71,5	+1,10 -0,46	5,7	±0,3	2,5	17,30
JV 68	68	2,50	-0,07	72,5	+1,10 -0,46	5,7	±0,3	2,5	17,75
JV 72	72	2,50	-0,07	76,5	+1,10 -0,46	6,0	±0,3	2,5	19,60
JV 80	80	2,50	-0,07	85,5	+1,30 -0,54	6,0	±0,3	2,5	22,90
JV 85	85	3,00	-0,08	90,5	+1,30 -0,54	6,6	±0,3	3,0	30,00
JV 90	90	3,00	-0,08	95,5	+1,30 -0,54	6,6	±0,3	3,0	33,00
JV 95	95	3,00	-0,08	100,5	+1,30 -0,54	7,4	±0,3	3,0	37,50
JV 100	100	3,00	-0,08	105,5	+1,30 -0,54	7,4	±0,3	3,0	41,90

Seeger-V-Ringe für Bohrungen  
Seeger-V-Rings for bores  
Segments intérieurs V-Seeger



15

JV 12 – JV 100

Nut · Groove · Gorge

Ergänzende Daten · Supplementary data · Données complémentaires

$d_2^*$	Toleranz Tolerance Tolérance	$m^*$ min.	t	n	$F_N$ kN	$F_R$ kN	g	$F_{Rg}$ kN	$A_N^{**}$ mm <sup>2</sup>	K kN · mm	Zange Pliers Pince
12,6	+0,11	0,70	0,30	0,9	0,75	1,8	0,8	1,0	4,5	5,5	ZGJ-0
15,7	+0,11	0,90	0,35	1,0	1,33	3,3	1,0	1,9	8,0	11,0	ZGJ-0
16,8	+0,11	1,10	0,40	1,2	1,67	5,2	1,0	3,1	10,0	22,7	ZGJ-1
17,8	+0,11	1,10	0,40	1,2	1,70	5,8	1,0	3,0	11,0	21,2	ZGJ-1
19,0	+0,15	1,10	0,50	1,5	1,78	6,3	1,0	3,0	14,0	20,4	ZGJ-1
20,0	+0,15	1,10	0,50	1,5	2,50	6,6	1,0	2,8	15,0	19,2	ZGJ-1
21,0	+0,15	1,10	0,50	1,5	2,66	7,0	1,0	2,9	16,0	19,0	ZGJ-1
22,0	+0,15	1,10	0,50	1,5	2,73	7,4	1,0	2,8	17,0	18,5	ZGJ-1
23,0	+0,15	1,10	0,50	1,5	2,80	7,5	1,0	2,8	17,0	17,8	ZGJ-1
25,2	+0,21	1,30	0,60	1,8	3,68	14,5	1,0	4,8	22,0	29,9	ZGJ-1
26,2	+0,21	1,30	0,60	1,8	4,00	14,8	1,0	5,0	24,0	30,6	ZGJ-1
27,2	+0,21	1,30	0,60	1,8	4,17	15,3	1,0	5,2	25,0	31,4	ZGJ-1
28,4	+0,21	1,30	0,70	2,1	5,00	15,0	1,0	5,1	30,0	29,9	ZGJ-1
29,4	+0,21	1,30	0,70	2,1	5,10	15,3	1,0	5,2	31,0	30,4	ZGJ-1
31,4	+0,25	1,30	0,70	2,1	5,50	14,9	1,0	5,1	33,0	29,0	ZGJ-1
33,7	+0,25	1,30	0,85	2,5	7,00	14,1	1,0	4,9	42,0	27,4	ZGJ-1
34,7	+0,25	1,30	0,85	2,5	7,30	13,8	1,0	4,8	44,0	26,6	ZGJ-1
37,0	+0,25	1,60	1,00	3,0	9,20	26,4	1,5	6,3	55,0	49,6	ZGJ-1
38,0	+0,25	1,60	1,00	3,0	9,70	27,5	1,5	6,6	58,0	51,5	ZGJ-1
40,0	+0,25	1,60	1,00	3,0	10,20	28,0	1,5	6,7	61,0	51,2	ZGJ-1
42,5	+0,25	1,85	1,25	3,8	13,50	45,5	2,0	8,4	81,0	82,5	ZGJ-2
44,5	+0,25	1,85	1,25	3,8	14,10	45,5	2,0	8,5	85,0	82,5	ZGJ-2
47,5	+0,25	1,85	1,25	3,8	15,00	44,0	2,0	8,4	90,0	79,5	ZGJ-2
49,5	+0,25	1,85	1,25	3,8	15,80	45,0	2,0	8,7	95,0	81,3	ZGJ-2
50,5	+0,30	1,85	1,25	3,8	16,00	48,0	2,0	9,1	96,0	85,8	ZGJ-2
53,0	+0,30	2,15	1,50	4,5	20,00	69,0	2,0	13,4	120,0	124,0	ZGJ-3
55,0	+0,30	2,15	1,50	4,5	20,80	66,5	2,0	13,3	125,0	121,0	ZGJ-3
58,0	+0,30	2,15	1,50	4,5	22,20	66,0	2,0	13,3	133,0	118,0	ZGJ-3
60,0	+0,30	2,15	1,50	4,5	23,00	65,0	2,0	13,1	138,0	115,0	ZGJ-3
61,0	+0,30	2,15	1,50	4,5	23,30	64,0	2,0	12,9	140,0	113,0	ZGJ-3
63,0	+0,30	2,15	1,50	4,5	24,20	62,0	2,0	12,7	145,0	111,0	ZGJ-3
65,0	+0,30	2,15	1,50	4,5	25,00	60,0	2,0	12,3	150,0	107,0	ZGJ-3
68,0	+0,30	2,65	1,50	4,5	25,80	122,0	2,5	20,6	155,0	218,0	ZGJ-3
70,0	+0,30	2,65	1,50	4,5	26,80	122,0	2,5	20,8	161,0	218,0	ZGJ-3
71,0	+0,30	2,65	1,50	4,5	27,20	123,0	2,5	21,0	163,0	220,0	ZGJ-3
75,0	+0,30	2,65	1,50	4,5	28,80	119,0	2,5	20,8	173,0	214,0	ZGJ-3
83,5	+0,35	2,65	1,75	5,3	37,40	110,0	2,5	19,6	224,0	196,0	ZGJ-3
88,5	+0,35	3,15	1,75	5,3	39,70	176,0	3,0	27,2	238,0	318,0	ZGJ-3
93,5	+0,35	3,15	1,75	5,3	42,00	169,0	3,0	26,6	252,0	309,0	ZGJ-3
98,5	+0,35	3,15	1,75	5,3	43,50	168,0	3,0	27,0	261,0	315,0	ZGJ-3
103,5	+0,35	3,15	1,75	5,3	46,70	165,0	3,0	26,8	280,0	312,0	ZGJ-3

\* Siehe Abschnitt 8, Seite 128 · \* See section 8, page 128 · \* Voir paragraphe 8, page 128  
 $**A_N$  = tragende Nutzfläche ·  $**A_N$  = Load-bearing groove area ·  $**A_N$  = Surface portante de gorge

